

図1 GAME/HUBEX 1998 観測でドップラーレーダーサイト付近に降水をもたらした降水システム。a) 1998年6月29日 1842BSTに観測された降水システムのデュアルドップラーレーダー解析。b) (a)の降水システムの概念モデル。c) 1998年7月2日0751BSTに観測された降水システムのデュアルドップラーレーダー解析。d) (c)の降水システムの概念モデル。「亜熱帯・温帯エネルギー・水循環過程」班の成果から。

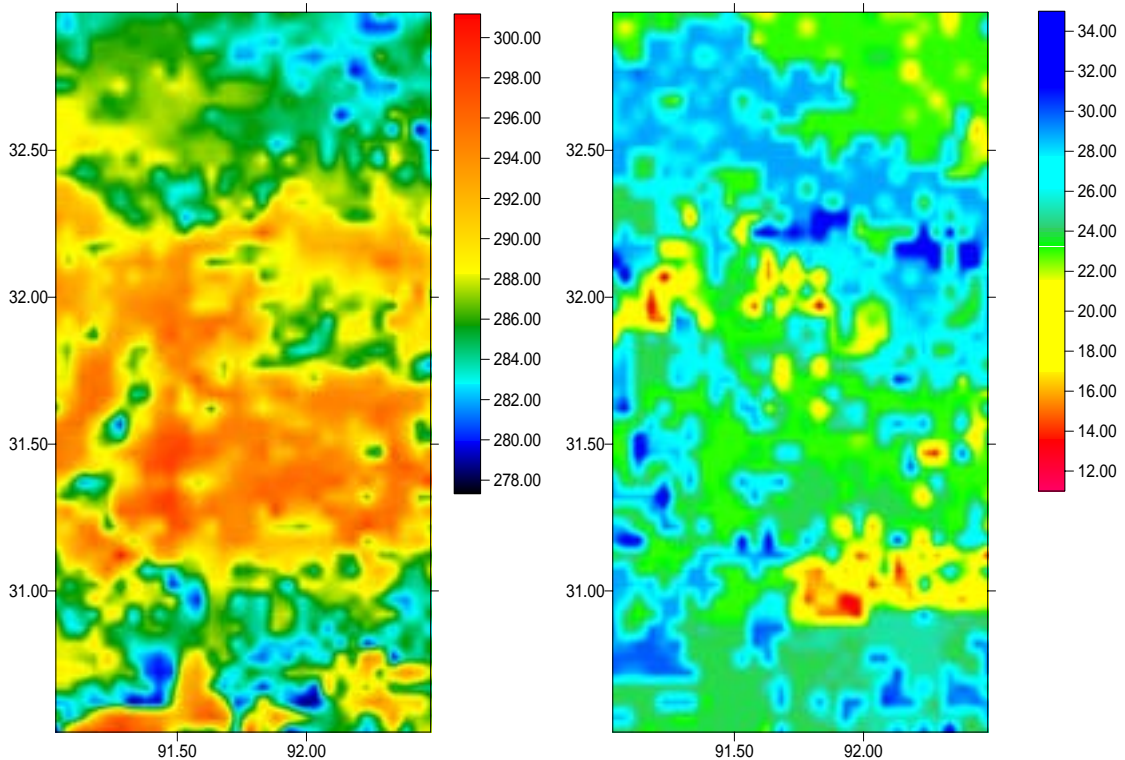
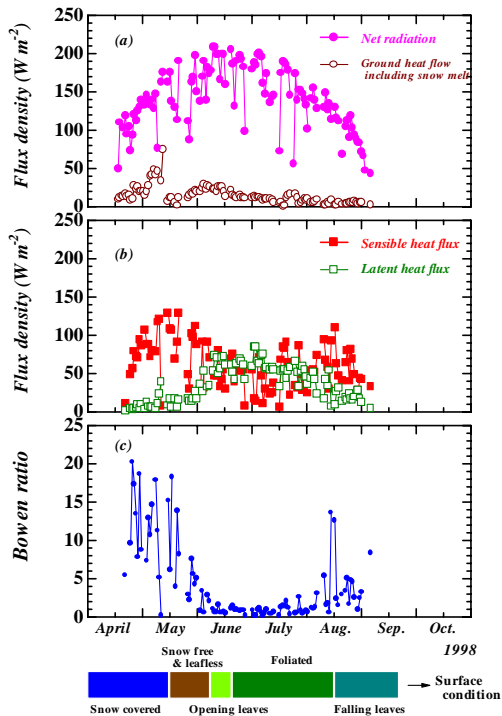
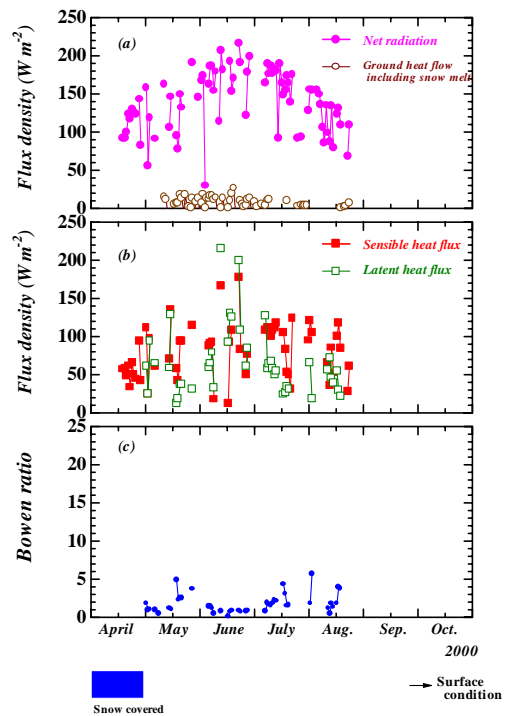


図2 陸面スキーム(PF/SiB2)とマイクロ波放射伝達モデルを組み合わせた陸面データ同化システムを、TRMM/TMIデータと「チベット高原陸面エネルギー・水循環過程」班のデータに適用して得られた表層土壌水分、地温マップ。



Seasonal variations of the energy budget and the Bowen ratio above a larch forest at Spasskaya Pad, Eastern Siberia



Seasonal variations of the energy budget and the Bowen ratio above a pine forest at Spasskaya Pad, Eastern Siberia

図3 1998年、2000年のヤクーツク、カラマツ林における生物季節進行と熱収支各要素の変化（「シベリア生物圏エネルギー・水循環過程」班の成果から）

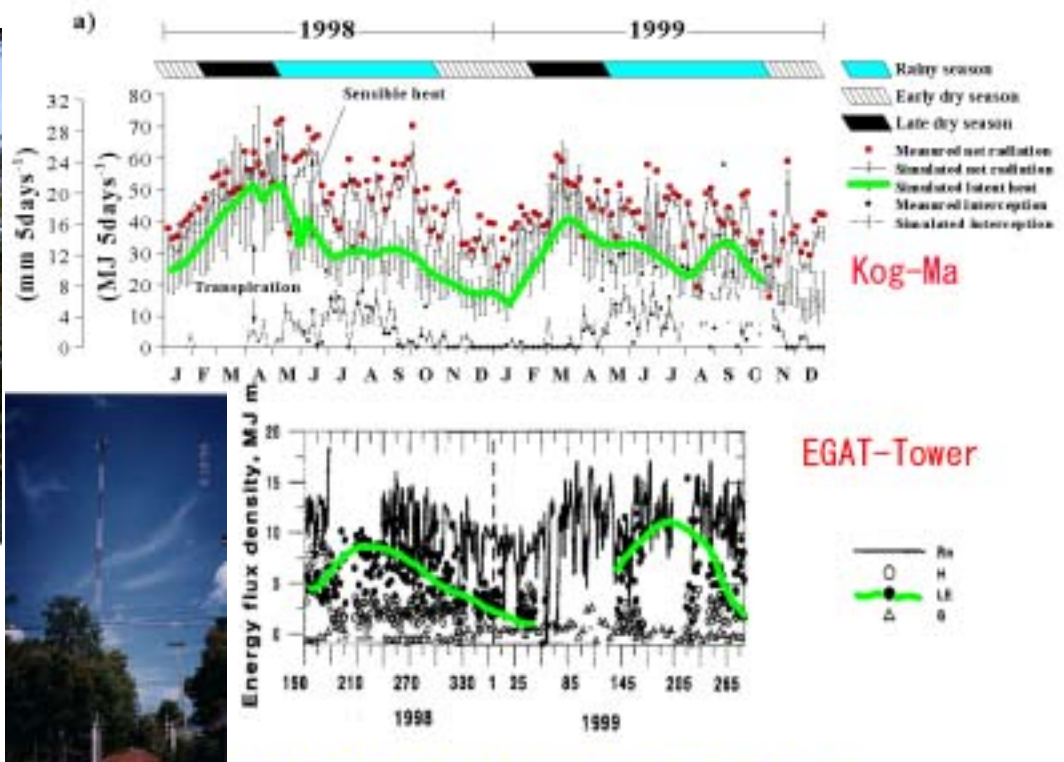


図4 「熱帯エネルギー・水循環過程」班のフラックスサイト(Kog-Ma, EGAT-Tower)での熱収支季節変化比較。